

# TEKTAŞ MİKRODALGA TÜMLEŞİK DEVRE TEKNOLOJİSİNDE KULLANILAN TRANSMİSYON HATLARI İÇİN KARAKTERİSTİK EMPEDANSLARIN YAPAY SİNİR AĞ MODELLERİ

Tayfun GÜNEL<sup>1</sup>

İsa Özgür BAYRAKTAR<sup>2</sup>

Elektronik ve Haberleşme Mühendisliği Bölümü

Elektrik-Elektronik Fakültesi

İstanbul Teknik Üniversitesi, 80626, Maslak, İstanbul

<sup>1</sup>e-posta: tgunel@ehb.itu.edu.tr

<sup>2</sup>e-posta: ozgurbay@yahoo.com

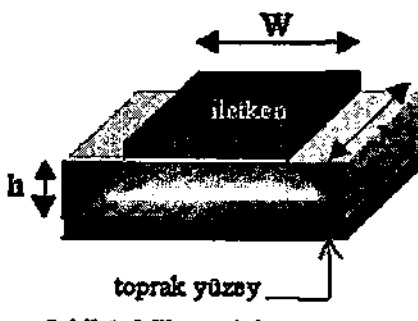
Anahtar sözcükler: Yapay Sinir Ağları, Modelleme, Mikroşerit Hat, Eşdizlemeli Dalga Kılavuzu

## ABSTRACT

In this work, Artificial Neural Network (ANN) models of the characteristic impedances of some transmission lines for monolithic microwave integrated circuits (MMICs) are presented. A backpropagation algorithm is used for the training of ANNs. Test results obtained from the ANNs are compared with the results obtained from the formulas.

## 1. GİRİŞ

Günümüzde MMICs teknolojisinde yaygın olarak kullanılmaya başlayan transmisyonda hatların karakteristik empedanslarının hesabı için literatürde çok sayıda bağıntı mevcuttur. Fakat bu bağıntılar, bağıntılardaki parametrelerin değişim aralığına göre belirli bir hata payı için geçerlidir. Bu nedenle doğru bir tasarım ve gerçekleme için olabildiğince gerçekleme yakını bir modelleme yapılması ihtiyaç duyulmaktadır. Yapay Sinir Ağları (YSA), bilinmeyen durumlar için öğrenme yöntemlerini kullanarak çözümlere ulaşabilmektedir. Son zamanlarda literatürde YSA'nın mikrodalga ve elektromagnetik konularında oldukça geniş kullanım alanları ortaya çıkmıştır [1-6]. Öğrenme yeteneğinden dolayı YSA, genelleme yapabilme (daha önceki eğitim çiftlerinde bulunmayan bir girişin uygulanması halinde kabul edilebilir bir hata payı ile çıkış değerini vermesi) yeteneği mevcuttur. Bu bildiride MMIC teknolojisinde yaygın olarak kullanılan bazı transmisyonda hatlarının karakteristik empedanslarının YSA modelleri oluşturulmuştur.



Sekil-1. Mikroşerit hat yapısı

## 2. MODELLEME

Modellemede amaç, önceden bilinen değerlerden bir kestirim yapılarak her durum için gerçekleme yakın değerler elde edebilmektir. YSA, kendisine verilen örneklerle eğitildiğinden ve lineer olmayan yapısı nedeniyle modelleme için çok uygundur. Ayrıca eğitme sırasında istenilen sonucu hızlı, kolay ve kabul edilebilir hata payı ile verebilmektedir [7].

### 2.1. Mikroşerit Hat

Şekil-1'de görülen Mikroşerit hattın karakteristik empedansı  $Z_0(\Omega)$  değeri

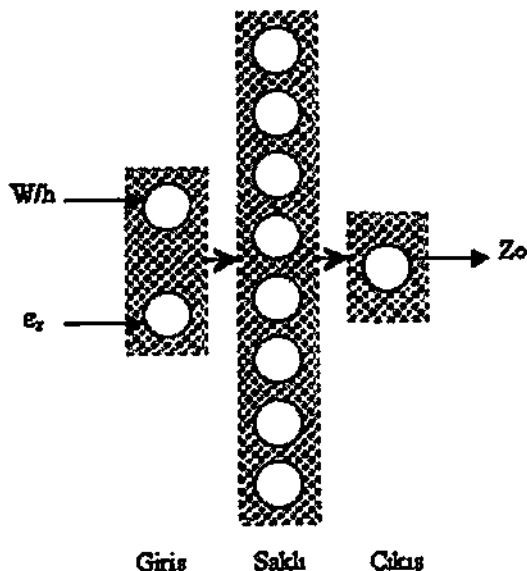
$W/h \leq 3$  için,

$$Z_0 = \frac{R_0}{\pi \sqrt{2(\epsilon_r + 1)}} \left[ \ln \left( \frac{4h}{W} + \sqrt{\frac{16h^2}{W^2} + 2} \right) - \frac{(\epsilon_r - 1)}{(\epsilon_r + 1)} \cdot \left( 0.2258 + \frac{0.1208}{\epsilon_r} \right) \right] \quad (1)$$

$W/h > 3$  için,

$$Z_0 = \frac{R_0}{2\sqrt{\epsilon_r}} \left[ \frac{W}{2h} + 0.4413 + \frac{0.0823(\epsilon_r - 1)}{\epsilon_r^2} + \frac{(\epsilon_r + 1)}{\epsilon_r} \left( 0.231 + 0.1592 \cdot \ln \left( \frac{W}{2h} + 0.94 \right) \right) \right] \quad (2)$$

bağıntılarından hesaplanmaktadır [8]. Yukarıdaki bağıntılarda  $R_0 = 120 \Omega$ 'dır. Formüllerden görüldüğü gibi karakteristik empedans, mikroşerit hattın genişlik-yükseklik oranı değeri ile dielektrik sabiti değerine bağlıdır. Modelleme için YSA yapısı tek saklı katmanlı algılayıcı olarak seçilmiştir. YSA'nın girişlerinden birisi mikroşerit hattın genişlik-yükseklik oranı, diğer girişi ise kullanılan malzemenin dielektrik sabiti olarak alınmıştır. Saklı katmanındaki eleman sayısı ise 8 olarak seçilmiştir. YSA'nın çıkışı ise hattın karakteristik empedans değeri olacağundan çıkış katmanında sadece 1 eleman olacaktır. Buna göre Şekil-2'de görüldüğü gibi YSA'da üç katmanda toplam 11 nöron bulunmaktadır.



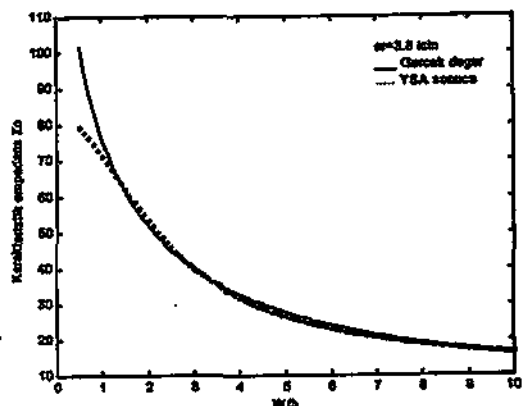
Şekil-2. Mikroşerit ve ters mikroşerit hatlarının karakteristik empedansları için YSA vapası

Saklı ve çıkış katmanlarındaki nöronların transfer fonksiyonu olan sigmoid fonksiyonu, aşağıdaki bağıntı ile tanımlanmaktadır.

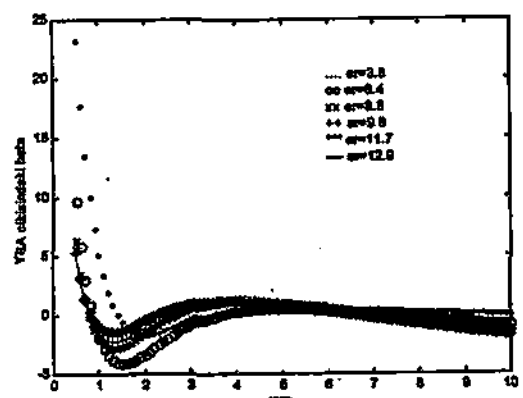
$$f(x) = \frac{1}{1 + e^{-0.5 \cdot x}} \quad (3)$$

Eğitme algoritması olarak da hataları geriye yayımı (back-propagation) algoritması seçilmiştir[7]. Eğitme parametrelerinden öğrenme oranı “0,05”, momentum terimi “0,75” seçilmiştir. YSA’nın eğitme aralığı, bağıl dielektrik sabiti  $\epsilon_r$  için iki standart değer (3,8 (Quartz), 6,4 (BeO)) ile W/h için 0,5–10 aralığında 0,1 artım değerleriyle oluşturulmuştur. Şekil-3’de  $\epsilon_r = 3,8$  ve 6,4 için gerçek empedans değerleriyle YSA çıkış değerlerinin karşılaştırılmıştır.

İyi bir modellenmedeki amaç, olabileceği her durum için YSA’nın gerçek'e yakın çıkış vermesidir. Bunun için YSA’nın eğitme aralığı büyütülmeli ve eğitme parametreleri de buna uygun değerlerde seçilmelidir. Buna göre  $\epsilon_r$ ’nın 3,8 (Quartz), 6,4 (BeO), 8,8 (AlN), 9,8 (Alumina), 11,7 (Sapphire), 12,9 (GaAs) olan toplam altı standart değeri ile W/h oranının 0,5–10 aralığında 0,1 artım değerleri ve “0,005” öğrenme oranı için minimum karesel hata kriteri kullanılarak eğitilen. YSA test edildiğinde çıkışındaki hata değerleri Şekil-4’deki gibi olmaktadır. Şekil-4’de görüldüğü gibi kılçılık W/h değerleri düşündə hata sıfır yakını çıkmıştır.



Şekil-3. Mikroşerit hat modelinde YSA çıkışı ile gerçek değerlerin karşılaştırılması



Şekil-4. Genişletilmiş giriş örgüsüyle eğitilen YSA çıkışındaki hata değeri



Şekil-5. Ters mikroşerit hat yapısı

## 2.2. Ters Mikroşerit Hat

Sekil-5'de ise ters mikroşerit hat yapısı görülmektedir. Ters mikroşerit hattın karakteristik empedansı  $Z_0$  ( $\Omega$ ) aşağıdaki bağıntılardan hesaplanmaktadır [9,10].

$$Z_0(u) = \frac{60}{\sqrt{\epsilon_{eff}}} \cdot \ln \left[ \frac{f(u)}{u} + \sqrt{1 + \left( \frac{2}{u} \right)^2} \right] \quad (4)$$

$$\sqrt{\epsilon_{eff}} = 1 + \frac{d}{h} \cdot [c_1 - c_2 \cdot \ln(u)] \cdot (\sqrt{\epsilon_r} - 1) \quad (4a)$$

$$u = W/h \quad (4b)$$

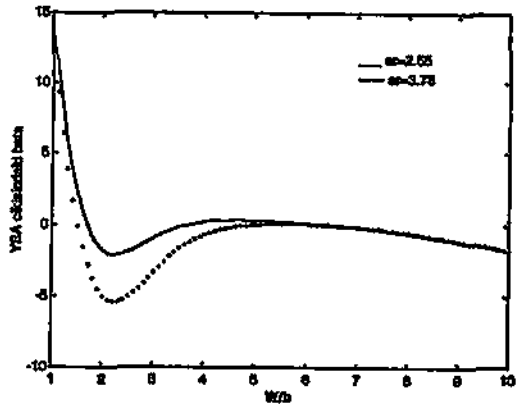
$$f(u) = 6 + (2\pi - 6) \cdot \exp \left[ -(30.666/u)^{0.7528} \right] \quad (4c)$$

$$c_1 = [0.5713 - 0.1515 \cdot \ln(d/h)]^2 \quad (4d)$$

$$c_2 = [0.3092 - 0.1047 \cdot \ln(d/h)]^2 \quad (4e)$$

Ters mikroşerit hattın karakteristik empedansı Sekil-2 deki YSA yapısı ile modellenmiştir. Eğitme algoritması olarak hatanın geriye yayınımı (back-

propagation) algoritması seçilmiştir. Eğitme parametrelerinden öğrenme oranı "0,05", momentum terimi "0,75" almıştır. Ters mikroşerit hat için  $d = 5 \cdot 10^{-4}$  m,  $h = 10^{-3}$  m seçilmiştir. YSA'nın eğitme aralığı  $\epsilon_r$  için iki standart değer (2,55 ve 3,78) ile ile  $u = W/h$  için 1-10 aralığında 0,1 artım değerleriyle oluşturulmuştur. Eğitme sonucunda YSA'nın istenilen sonucu verip vermediğinin test edilmesi gerekmektedir. Sekil-6'da  $\epsilon_r = 2,55$  ve 3,78 için gerçek empedans değerleriyle YSA çıkış değerlerinin karşılaştırılması yapılmıştır. YSA çıkışındaki hata değerleri Sekil-7'de verilmiştir.



Sekil-7. Ters mikroşerit hat modelinde YSA çıkışındaki hata değeri

## 2.3. Eşdüzlemli Dalga Kılavuzu

Sekil-8'de eş düzlemlü dalga kılavuzu yapısı görülmektedir. Eşdüzlemli dalga kılavuzunun karakteristik empedansı  $Z_0$  ( $\Omega$ ) aşağıdaki bağıntılardan hesaplanmaktadır [11,12,13].

$$Z_0 = \frac{30\pi}{\sqrt{\epsilon_{re}}} \frac{K(k)}{K(k')} \quad (5)$$

$$\epsilon_{re} = 1 + \frac{\epsilon_r - 1}{2} \cdot \frac{K(k') \cdot K(k_1)}{K(k) \cdot K(k'_1)} \quad (5a)$$

$$k = \frac{a}{b} \quad (5b)$$

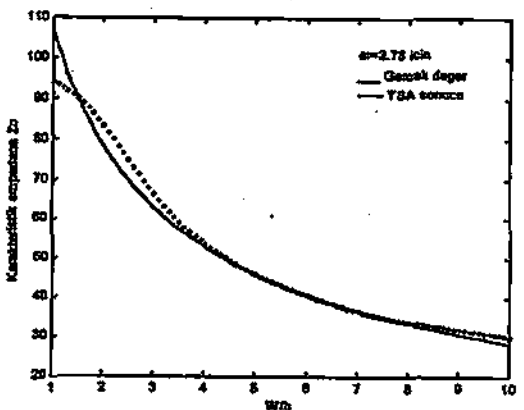
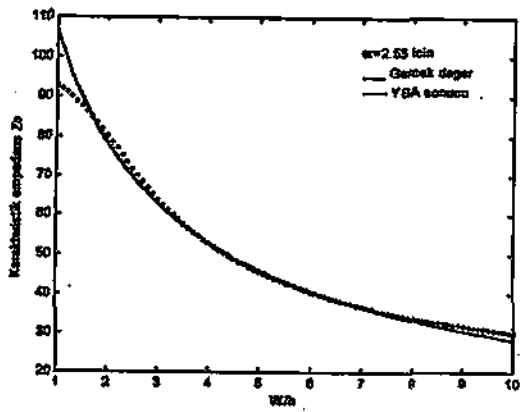
$$k' = (1 - k^2)^{1/2} \quad (5c)$$

$$k_1 = \sinh(k \cdot \pi / 2(b/a)) / \sinh(\pi / 2(b/a)) \quad (5d)$$

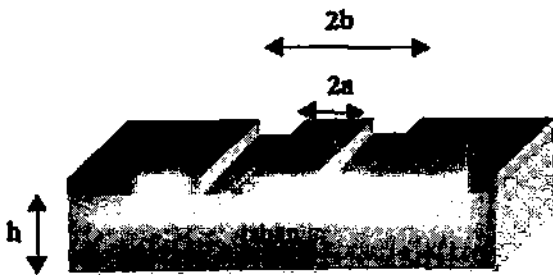
$$k'_1 = (1 - k_1^2)^{1/2} \quad (5e)$$

$$\frac{K(k)}{K(k')} = \frac{1}{\pi} \ln \left( 2 \frac{1 + \sqrt{k}}{1 - \sqrt{k}} \right) \quad 0.5 \leq k^2 \leq 1 \quad (5f)$$

$$= \frac{\pi}{\ln \left( 2 \frac{1 + \sqrt{k'}}{1 - \sqrt{k'}} \right)} \quad 0 \leq k^2 \leq 0.5 \quad (5g)$$

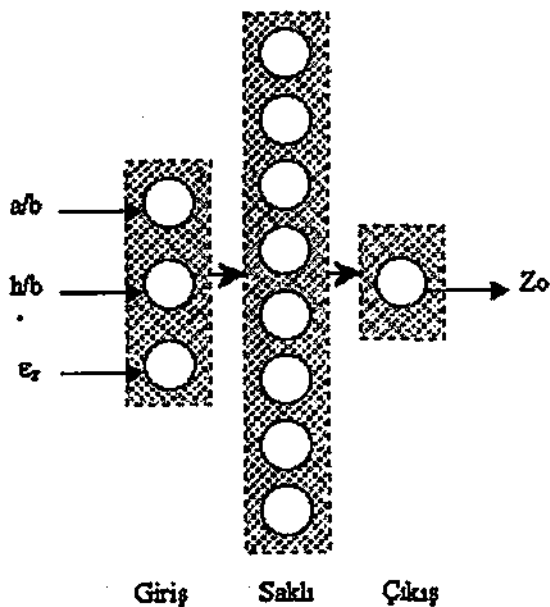


Sekil-6. Ters mikroşerit hat modelinde YSA çıkışının gerçek değerlerle karşılaştırılması

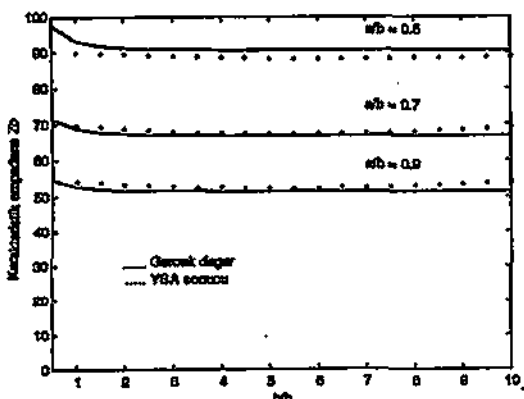


Şekil-8. Eş düzlemlü dalga kılavuzu

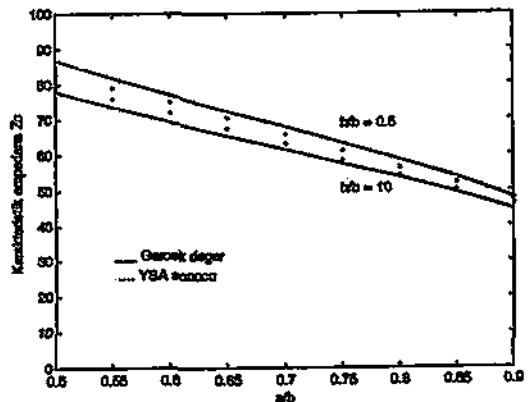
Eş düzlemlü dalga kılavuzunun karakteristik empedansı, Şekil-9'daki YSA yapısı kullanılarak modellenmiştir. Sekil ve çıkış katmanlarındaki nöronların transfer fonksiyonu olarak sigmoid fonksiyonu (3) seçilmiştir. Eğitme algoritması olarak



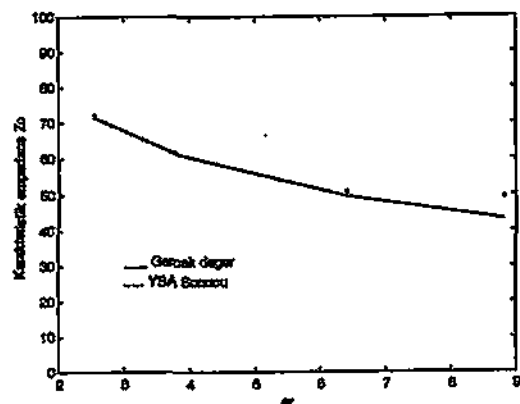
Şekil-9. Eş düzlemlü dalga kılavuzunun karakteristik empedansı için YSA yapısı



Şekil-10. Karakteristik empedansın h/b oramı ile değişimi



Şekil-11. Karakteristik empedansın a/b oranı ile değişimi



Şekil-12. Karakteristik empedansın εᵣ değerleri ile değişimi

hatanın geriye yayımını (back-propagation) algoritması seçilmiştir. Eğitme parametrelerinden öğrenme oranı "0,05", momentum terimi "0,75" almıştır.

Seçilen eğitme aralığı εᵣ'ın iki standart 2,55 ve 3,78 değerleri ile, a/b oranı için 0,5-0,9 aralığında 0,05 artım değerleri ile, h/b oranı için ise 0,5-10 aralığında 0,5 artım değerleri ile oluşturulmuştur. Bağlı dielektrik sabiti εᵣ = 2,55, a/b oranı 0,5, 0,7 ve 0,9 değerleri için karakteristik empedansın h/b ile değişimi Şekil 10'da verilmiştir. εᵣ = 2,55, b/b değeri 0,5 ve 10 için karakteristik empedansın a/b ile değişimi Şekil-11'de verilmiştir. h/b=5, a/b=0,7 için karakteristik empedansın εᵣ değeri ile değişimi ise Şekil-12'de verilmiştir.

### 3. SONUÇ

Bu çalışmada, mikroşerit, ters mikroşerit hat ve eş düzlemlü dalga kılavuzu yapılarının karakteristik empedanslarının yapay sinir ağları kullanılarak modelleri tasarılanmıştır. YSA, literatürdeki bağımlılar yardımıyla hesaplanan karakteristik empedans değerleri kullanılarak hatanın geriye yayımını algoritmasıyla eğitilmiş ve girişindeki farklı değerler

İNÇERİMDE hesaplanan karakteristik empedans değerleri, bağımlılardan elde edilen ve gerçek değerler olarak kabul edilen karakteristik empedans değerleri ile karşılaştırılmıştır. Hatların karakteristik empedansları için YSA modellerinden elde edilen sonuçların istenilen doğrulukta olduğu görülmüştür. Ancak literatürde, hatların karakteristik empedanslarına ilişkin bağımlılardan elde edilen sonuçların doğruluğu bağımlılarda yer alan, hatalara ilişkin bazı yapısal parametrelerin değerlerinin değişim aralığına bağlıdır. Bu nedenle YSA ile modellemenin doğruluğunu artırması, YSA modelinin oluşturulması için kullanılan değerlerin geniş bir değişim aralığı içerisinde yeterli sayıda ve doğrulukta ölçümler yardımıyla elde edilmesini gerektirmektedir.

## KAYNAKLAR

- [1] Creech, G.L.; Paul, B.J.; Lesniak, C.D.; Jenkins, T.J.; Calzetta, M.C., Artificial Neural Networks for Fast and Accurate EM-CAD of Microwave Circuits, *IEEE TRANSACTIONS ON MICROWAVE THEORY AND TECHNIQUES*, Vol.45, pp. 794-802, 1997.
- [2] Watson, D.M., Gupta, K.C., Design And Optimization Of CPW Circuits Using EM-ANN Models for CPW Components, *IEEE TRANSACTIONS ON MICROWAVE THEORY AND TECHNIQUES*, Vol.45, pp.2515-2523, 1997.
- [3] Wang,F.; Devabhaktuni,V.K.; Zhang,Q.J., A Hierarchical Neural Network Approach to the Development of a Library of Neural Models for Microwave Design, *IEEE TRANSACTIONS ON MICROWAVE THEORY AND TECHNIQUES*, Vol.46, pp.2391-2403, 1998.
- [4] Sağiroğlu, S., Güney, K., Erler, M., Resonant Frequency Calculation for Circular Microstrip Antennas Using Artificial Neural Networks, *INT. J. RF. MICROW. C.R.*, Vol.8, pp.270-277, 1998.
- [5] Güneş, F., Torpi, H., Gürgen, F., Neural Network Modeling of Active Devices for Use in MMIC Design, *ARTIF. INTELL. ENG.*, Vol.13, pp.385-392, 1999.
- [6] Günel, T., Combination of Artificial Neural Network Model with Genetic Algorithm for the Synthesis of Microstrip Radial Stub, *AEÜ. INTERNATIONAL JOURNAL OF ELECTRON. COMMUN.*, Vol.54, pp.241-243, 2000.
- [7] Haykin, S., *Neural Networks: A Comprehensive Foundation*, IEEE Computer Society Press/IEEE Press, 1994.
- [8] Edwards, T.C., *Foundations for Microstrip Circuit Design*, John Wiley & Sons, 1981.
- [9] Pramanick, P., Bhartia, P., Computer-Aided Design Models for Millimeter Wave Finlines and Suspended Substrate Lines, *IEEE TRANS. MICROWAVE THEORY AND TECHNIQUES*, Vol. 33, pp.1429-1435, 1985.
- [10] Rosioniec, S., *Algorithms for Computer-Aided Design of Linear Microwave Circuits*, Artech House, 1990.
- [11] Ghione, G., Naldi, C., Analytical Formulas for Coplanar Lines in Hybrid And Monolithic MICs., *ELECTRONICS LETTERS*, Vol.20, pp.179-181, 1984.
- [12] Veyres, C. and Fouad-Hanna, Extension of the Application of Conformal Mapping Techniques to Coplanar Lines with Finite Dimensions, *INT. J. ELECTRONICS*, Vol.48, pp.47-56, 1980.
- [13] Gupta, K.C., Garg, R., Bahl, I. and Bhartia, P., *Microstrip Lines And Slotlines*. Artech House. 2<sup>nd</sup> Ed., 1996.